

SICE セミナー

「実践的な制御系設計の最前線
-ポストロバスト制御理論と応用の新展開-」

「モデル予測制御理論の紹介」

第 部



FL06_21_1

山田 照樹



はじめに

モデル予測制御の成立過程

- ・ プロセスの現場での経験的制御
- ・ 適応制御 (一般化予測制御) からの発展
- ・ **最適制御 (optimal control) からの発展**



有限時間区間 (finite horizon) の最適制御を, 時刻が進むにつれて評価時間区間を先へずらして進めていく

receding horizon (moving horizon)
の考え方に基づくアドバンスな最適化制御

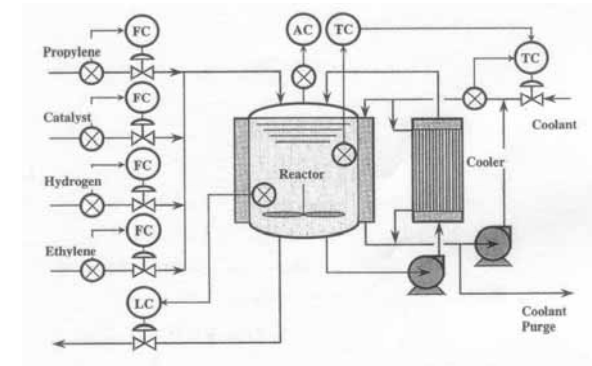


Fig : 化学プラント

大嶋, 関, “モデル予測制御-V”



最適制御とモデル予測制御

Tokyo Institute of Technology

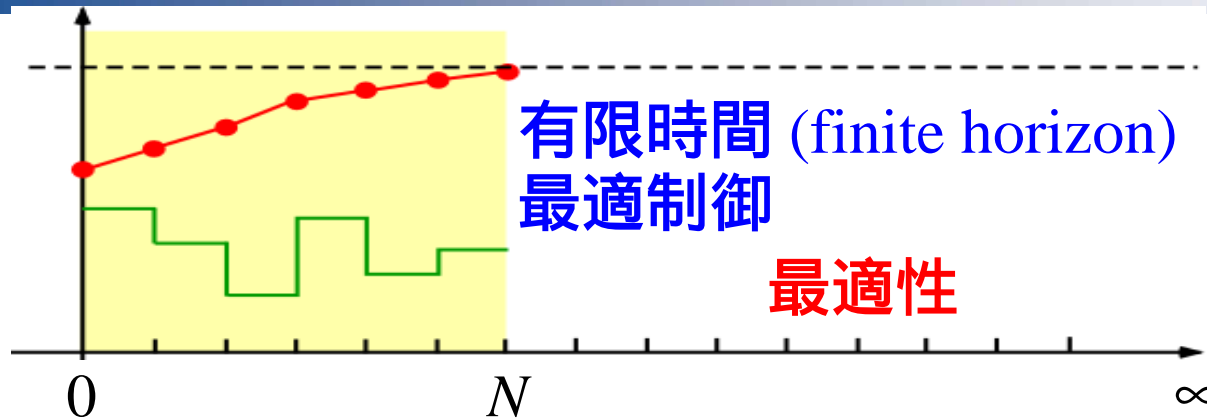


Fig : アポロ15号 “NASA”

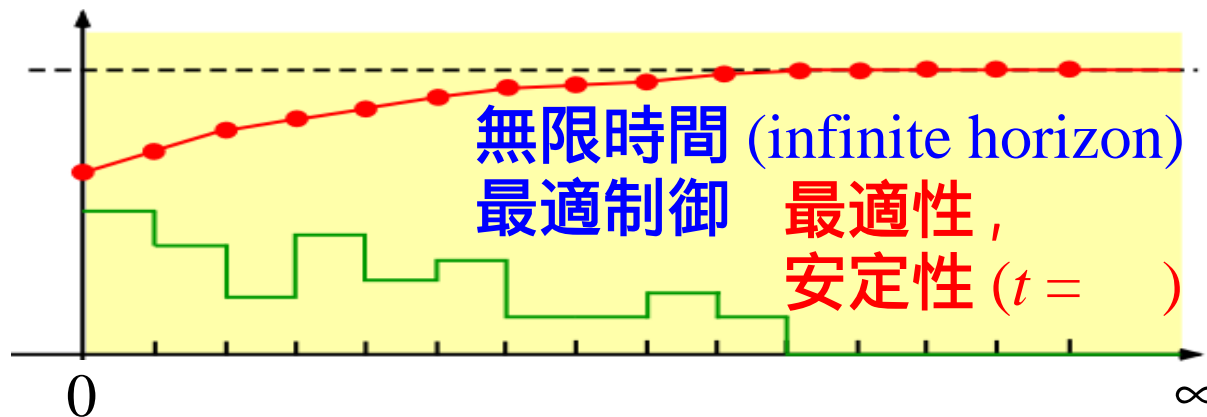


Fig : F-8 “~~121~~”

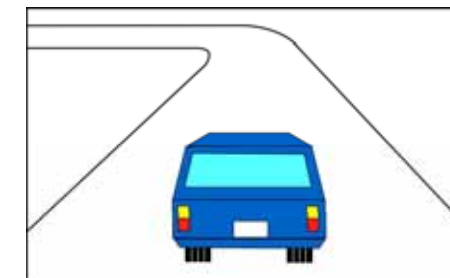
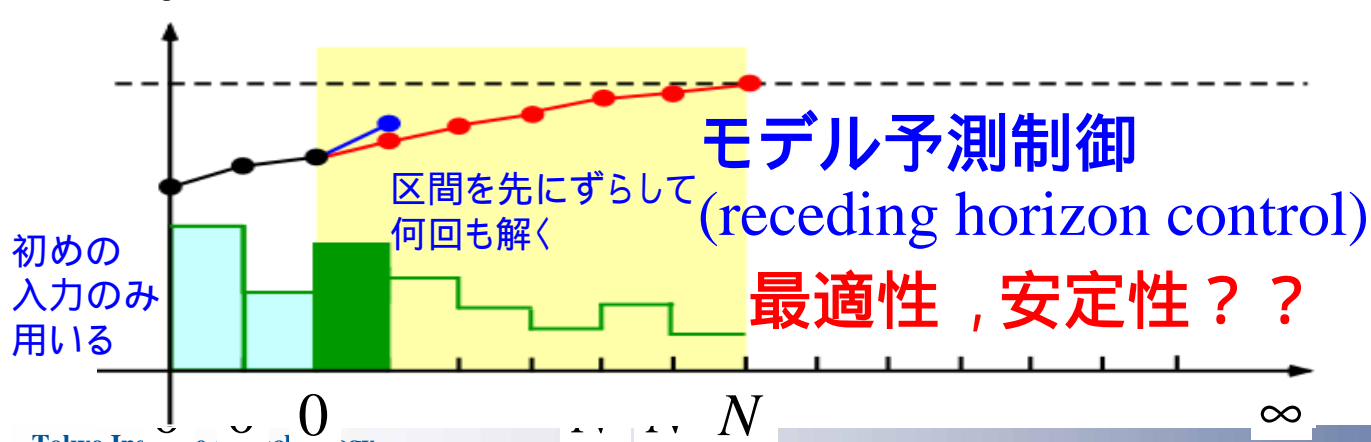


Fig : 車



モデル予測制御を適用するシステム

非線形システム (制御対象)

$$x(k+1) = f(x(k), u(k)) \quad (1) \quad f(0,0) = 0$$

例 (ロボットマニピュレータ)

$$M(q)\ddot{q} + C(q, \dot{q})\dot{q} + g(q) = \tau$$

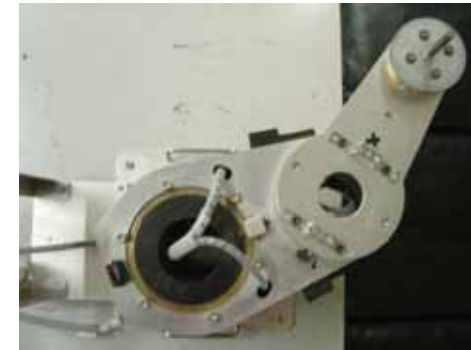


Fig : ロボットマニピュレータ

線形システム (制御対象)

$$x(k+1) = A x(k) + B u(k)$$

例 (バネマスダンパ系)

$$\begin{bmatrix} \dot{x} \\ \ddot{x} \end{bmatrix} = \begin{bmatrix} 0 & 1 \\ -\frac{k}{m} & -\frac{d}{m} \end{bmatrix} \begin{bmatrix} x \\ \dot{x} \end{bmatrix} + \begin{bmatrix} 0 \\ \frac{1}{m} \end{bmatrix} u$$

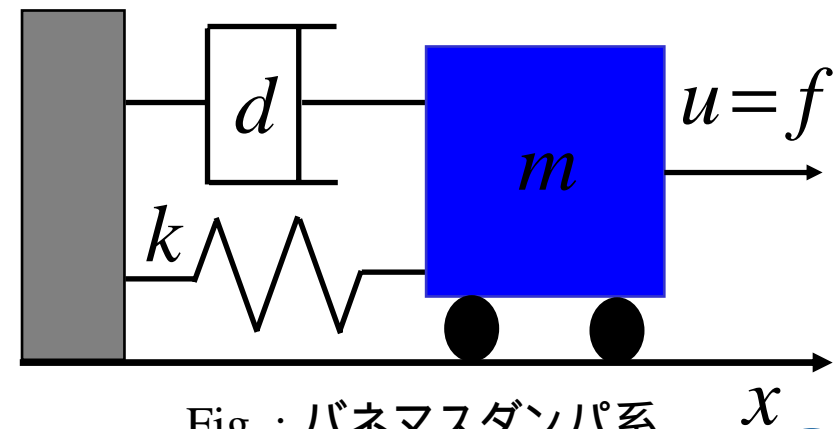


Fig : バネマスダンパ系

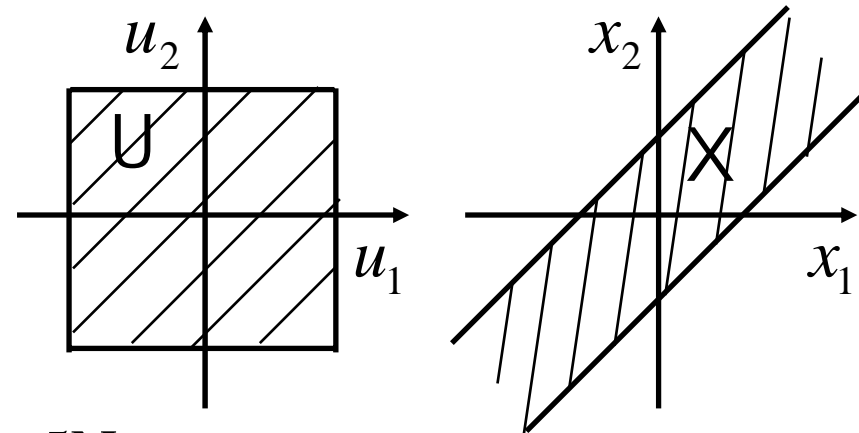


入力と状態に関する制約

入力と状態に関する制約

入力制約 $u(k) \in U$

状態制約 $x(k) \in X$

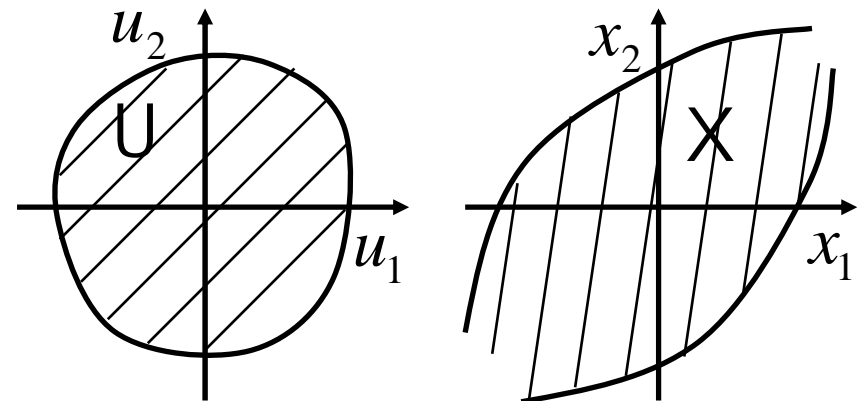
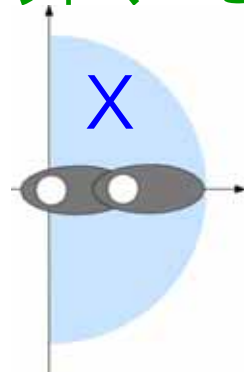


例 (バネマスダンパ系)

入力に関する制約 U : 力 $-5\text{N} \sim 5\text{N}$ $x(k+1) = Ax(k) + Bu(k)$

状態に関する制約 X : 位置 $-1\text{m} \sim 1\text{m}$

例 (ロボットマニピュレータ)



$$x(k+1) = f(x(k), u(k))$$

入力に関する制約 U : 入力電圧 $-10\text{V} \sim 10\text{V}$

状態に関する制約 X : 関節角度 $-90^\circ \sim 90^\circ$



ステージコストと終端コスト

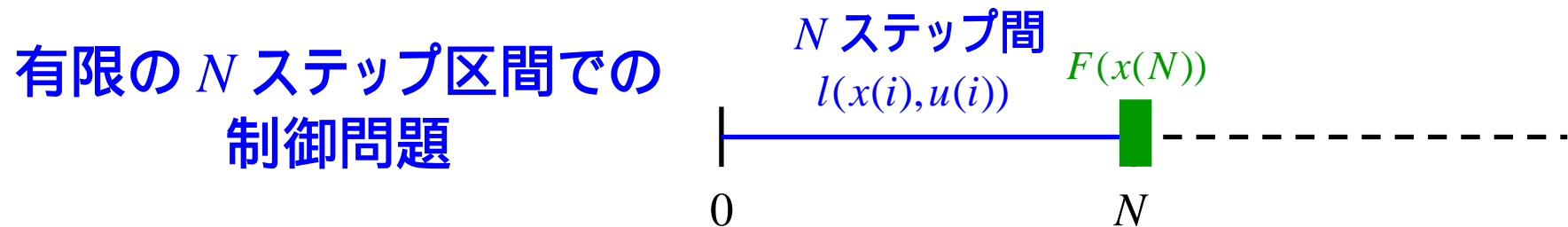
コスト (評価関数)

$$V_N(x, u) = \sum_{i=0}^{N-1} \underline{l(x(i), u(i))} + \underline{F(x(N))}$$

$l(x(i), u(i))$: **ステージコスト** (stage cost)

$F(x(N))$: **終端コスト** (terminal cost)

$$l(x(i), u(i)) > 0, l(0, 0) = 0, F(x(N)) > 0$$



例 線形システムの評価関数

ステージコスト $l(x(i), u(i)) = x(i)^T Q x(i) + u(i)^T R u(i)$
 $Q \geq 0, R > 0$

終端コスト $F(x(N)) = x^T(N) P_f x(N)$



制約条件付きの最適制御問題

制約条件付きの最適制御問題 (optimal control problem)

$$P_N(x) : \min_u \{ V_N(x, u) | u \in U_N(x) \} \quad (2)$$

$U_N(x)$: 入力と状態に関する制約を満たす入力集合

最適入力 $x : i = 0$ における状態 $x^o(0; x)$

$$u^{\circ}(x) = \{ u^o(0; x), u^o(1; x), \dots, u^o(N-1; x) \} \quad (3)$$

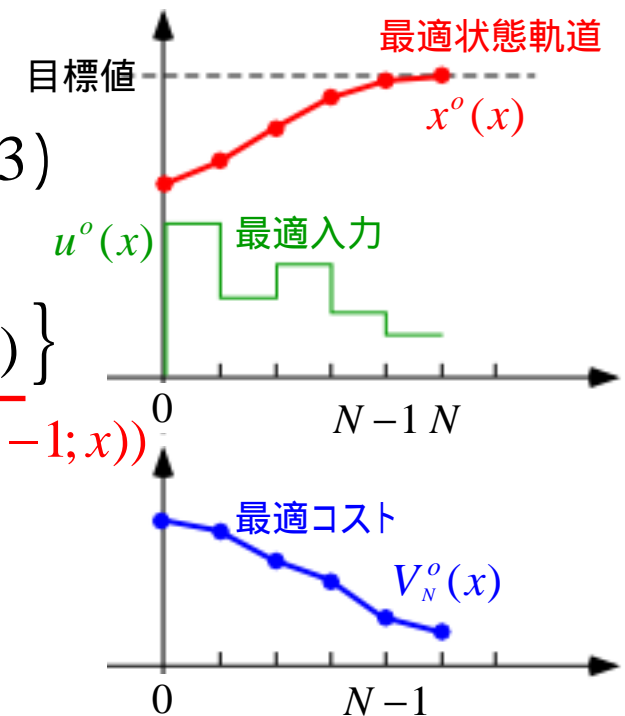
最適な状態軌道 (trajectory)

$$x^o(x) = \{ x^o(0; x), x^o(1; x), \dots, x^o(N-1; x), x^o(N; x) \}$$

$$= f(x^o(N-1; x), u(N-1; x))$$

最適なコスト (value function)

$$V_N^o(x) = V_N(x, u^o(x))$$





モデル予測制御とは

モデル予測制御では

最適入力系列の最初の操作量 $u^o(0; x)$ のみを制御対象に適用

$$\text{制御則 } \kappa_N(x) := u^o(0; x) \quad u^o(x) = \{u^o(0; x), u^o(1; x), \dots, u^o(N-1; x)\}$$

最適制御問題における N ステップの区間を一つ先に進めながら、
最適制御問題を繰り返し解く。

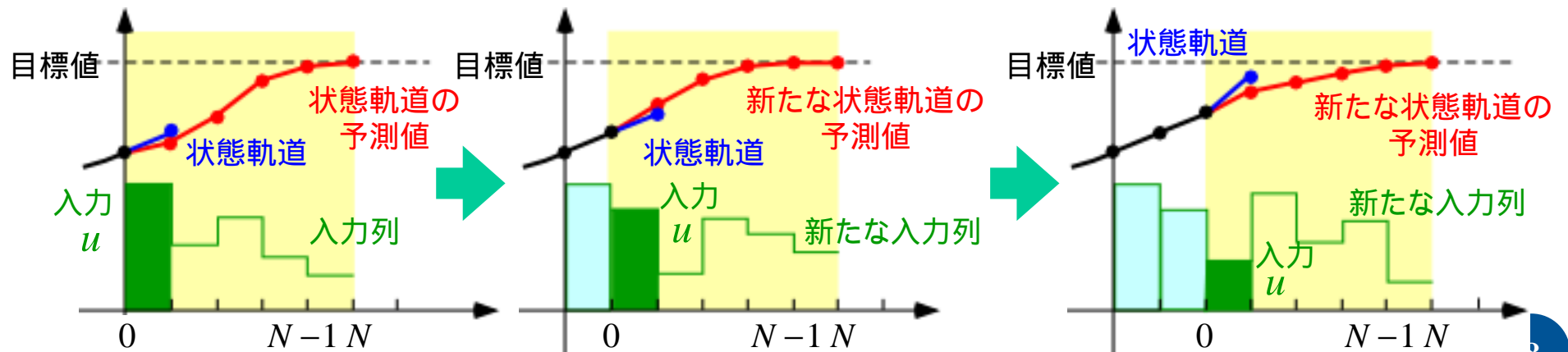


receding horizon (moving horizon)

$$u = \kappa_N(x)$$

という入力を繰り返し
くわえる。

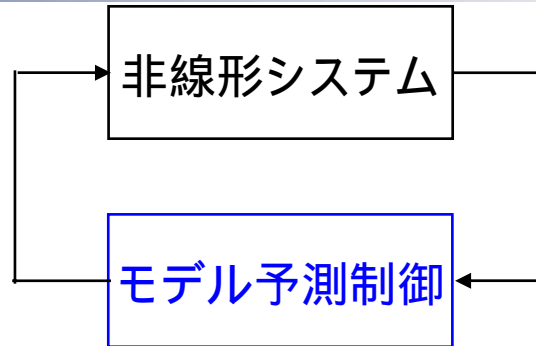
モデル予測制御





安定性のための終端制約集合と終端コスト

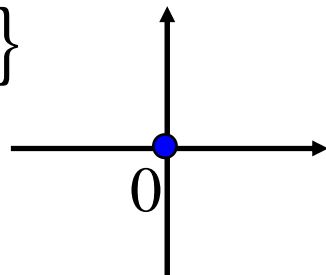
閉ループ系の安定性



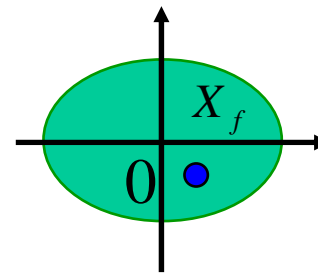
終端制約集合 X_f

終端等式制約 $x(N)=0$ Kwon and Pearson (1977)

$$X_f = \{0\}$$



緩和



$x(N) \in X_f$
 X_f は原点近傍

終端コスト $F(x(N))$

安定性 \rightarrow 終端制約集合 X_f

評価関数 $V_N(x, u) = \sum_{i=0}^{N-1} l(x(i), u(i)) + F(x(N))$

$F(x(N)) = x(N)^T P_f x(N)$

P_f \rightarrow 大
 $x(N)$ \rightarrow 小

安定性 \rightarrow 終端コスト $F(x(N))$



線形システムの無限時間最適制御の安定性

Tokyo Institute of Technology

離散時間線形システム $x(k+1) = Ax(k) + Bu(k)$

評価関数 () $V_{\infty}(x, u) = \sum_{i=0}^{\infty} \left(x^T(i) Q x(i) + u^T(i) R u(i) \right)$
 $l(x(i), u(i))$

最適入力 $u^o(k) = Kx(k)$ $K = -(R + B^T P B)^{-1} B^T P A$
(安定化制御則)

代数リカッチ方程式 $P = A^T P A - A^T P B (R + B^T P B)^{-1} B^T P A + Q$

最適コスト $V_{\infty}^o(k) = V_{\infty}(x(k), u^o(k)) = x(k)^T P x(k)$

安定性 $\Delta V_{\infty}^o = V_{\infty}^o(k+1) - V_{\infty}^o(k)$
 $= x(k+1)^T P x(k+1) - x(k)^T P x(k)$
 $= -l(x(k), u(k)) \leq 0$ (等号は $x(k) = u(k) = 0$ のみ)

最適コスト $V_{\infty}^o(k)$ をリアプノフ関数とみれば, **安定性**がいえる.

最適入力 $u^o(k) = Kx(k)$ は**安定化制御則**となっている.



線形システムのモデル予測制御の安定性

Tokyo Institute of Technology

線形システム $x(k+1) = Ax(k) + Bu(k) \quad x(0) = x_0$

入力制約 $u(k) \in U \quad k = 0, \dots, N-1$

状態制約 $x(k) \in X \quad k = 0, \dots, N$

終端制約 $x(N) \in X_f \subset X$

評価関数 $V_N(x, u) = \sum_{i=0}^{N-1} \underbrace{(x^T(i)Qx(i) + u^T(i)Ru(i))}_{\text{ステージコスト}} + \underbrace{x^T(N)P_f x(N)}_{\text{終端コスト}}$

閉ループ系の安定性をいうのに重要な要素 (線形システム)

- 終端制約集合 X_f は最大出力許容集合 O_∞

- 終端ステップにおける安定化制御則の存在 $\kappa_f(x) = Kx$

$$K = -(R + B^T P_f B)^{-1} B^T P_f A$$

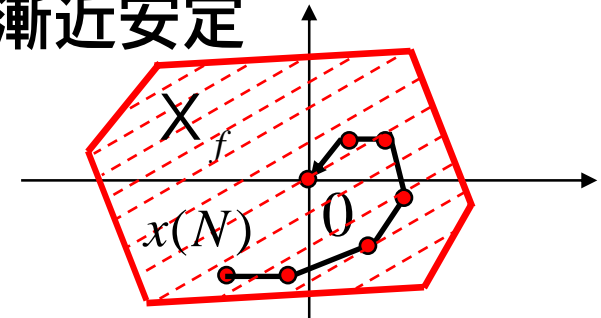
- 終端コスト $F(x(N)) = x^T(N)P_f x(N) \quad \Delta F(x) + l(x, \kappa_f(x)) \leq 0$



* 終端制約集合の選び方

終端制約集合 $X_f \rightarrow$ **安定化制御則** $K_f(x) = Kx$ が存在する領域
閉ループ系 $x(k+1) = (A+BK)x(k)$ は0 に漸近安定

- 1. 入力制約 $u(k) \in U \quad k=0, \dots, N-1$
- 2. 状態制約 $x(k) \in X \quad k=0, \dots, N$
- 3. 終端制約 $x(N) \in X_f \subset X$



安定化制御則 $K_f(x) = Kx$

X_f 内部の状態 x に対して, 以後, 以下の条件が常に満たされている必要がある.

- 1. 入力制約 $\rightarrow K(A+BK)^k x \in U \quad k=0, 1, \dots, \infty$
- 2. 状態制約 $\rightarrow (A+BK)^k x \in X \quad k=0, 1, \dots, \infty$



終端制約集合 X_f は, **最大出力許容集合 O_∞** をとる.

$$O_\infty = \{x \mid K(A+BK)^k x \in U, (A+BK)^k x \in X \text{ for } k=0, 1, \dots, \infty\}$$

O_∞ は, 制約条件を常に満足するような最大の**正の不変集合**



終端制約 (terminal constraint)

終端の第 N ステップにおける状態の制約

$$x(N) \in X_f \subset X$$

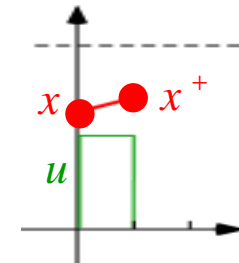
X_f : 終端制約集合 (terminal constraint set)

仮定 : 非線形システム (1) に対して, (局所的な) 安定化制御則 (stabilizing control) が存在する

$$u = K_f(x)$$

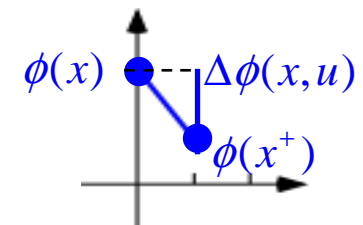
状態が x のときに入力 u を加えた次のステップの状態

$$x^+ = f(x, u)$$



状態が x から x^+ へ変化したときの関数 $\phi(x, u)$

$$\Delta\phi(x, u) := \phi(x^+) - \phi(x)$$





非線形モデル予測制御の安定条件

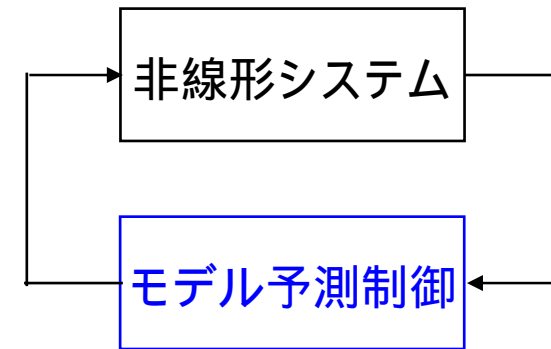
非線形モデル予測制御の安定条件

A1 : $X_f \subset X$, X_f は閉集合, $0 \in X_f$

A2 : $\kappa_f(x) \in U$, $\forall x \in X_f$

A3 : $f(x, \kappa_f(x)) \in X_f$, $\forall x \in X_f$

A4 : $[\Delta F + l](x, \kappa_f(x)) \leq 0$, $\forall x \in X_f$



A3 : 終端制約集合 X_f が正の不変集合 (positive invariant set)

A4 : 終端コスト $F(x)$ は (局所的な) リアプノフ関数 (control Lyapunov function) となる

A1-A3 : 入力と状態に関する制約および終端制約が満たされている



可能解の存在性 (feasibility)



非線形モデル予測制御の安定条件の略証

Tokyo Institute of Technology

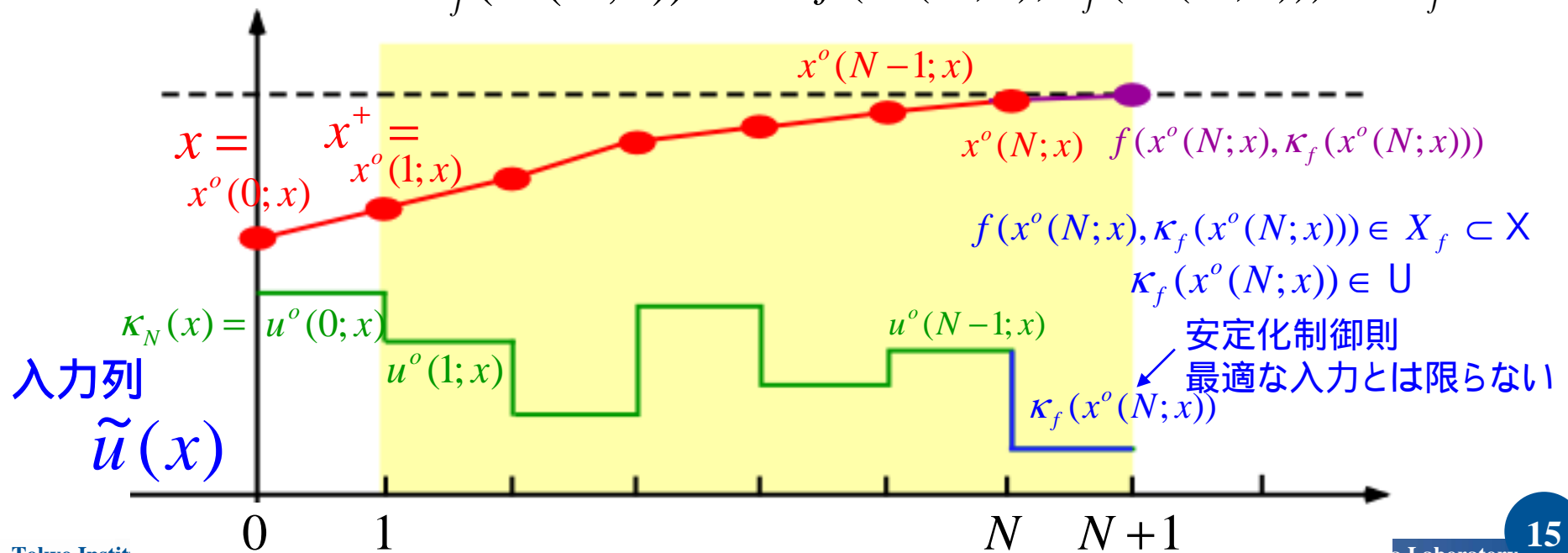
非線形モデル予測制御の安定条件の略証

最適制御問題(2)と対応する最適入力(3)に対して,
1ステップ経過した時点で新たに x^+ を初期値とする
 N ステップの最適制御問題 $P_N(x^+)$ を考える.

制約条件つき最適制御問題に対する入力

$$\tilde{u}(x) := \left\{ \underbrace{u^o(1; x), \dots, u^o(N-1; x)}_{\text{最適入力}}, \kappa_f(x^o(N; x)) \right\}$$

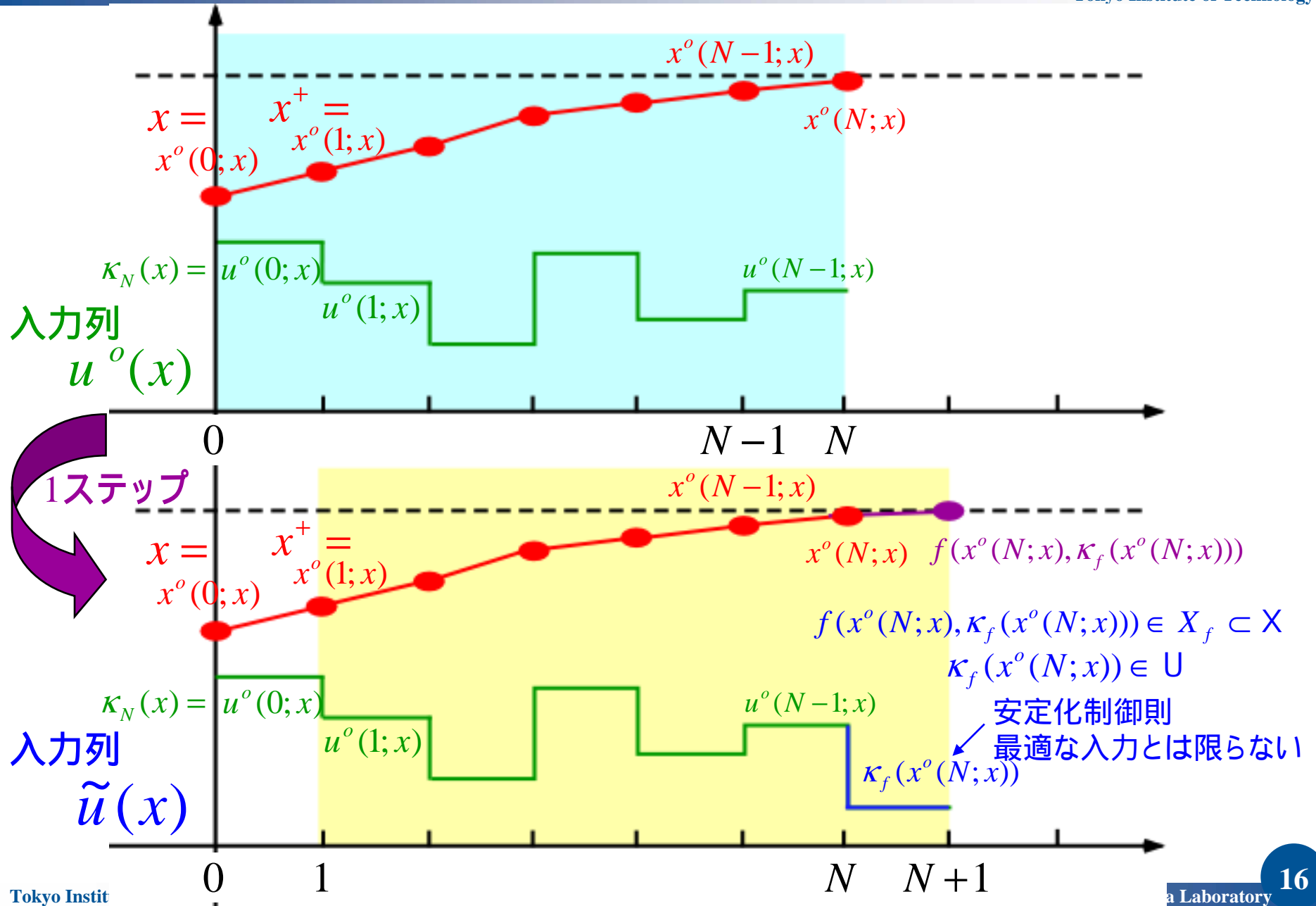
$$\kappa_f(x^o(N; x)) \in U \quad f(x^o(N; x), \kappa_f(x^o(N; x))) \in X_f \subset X$$





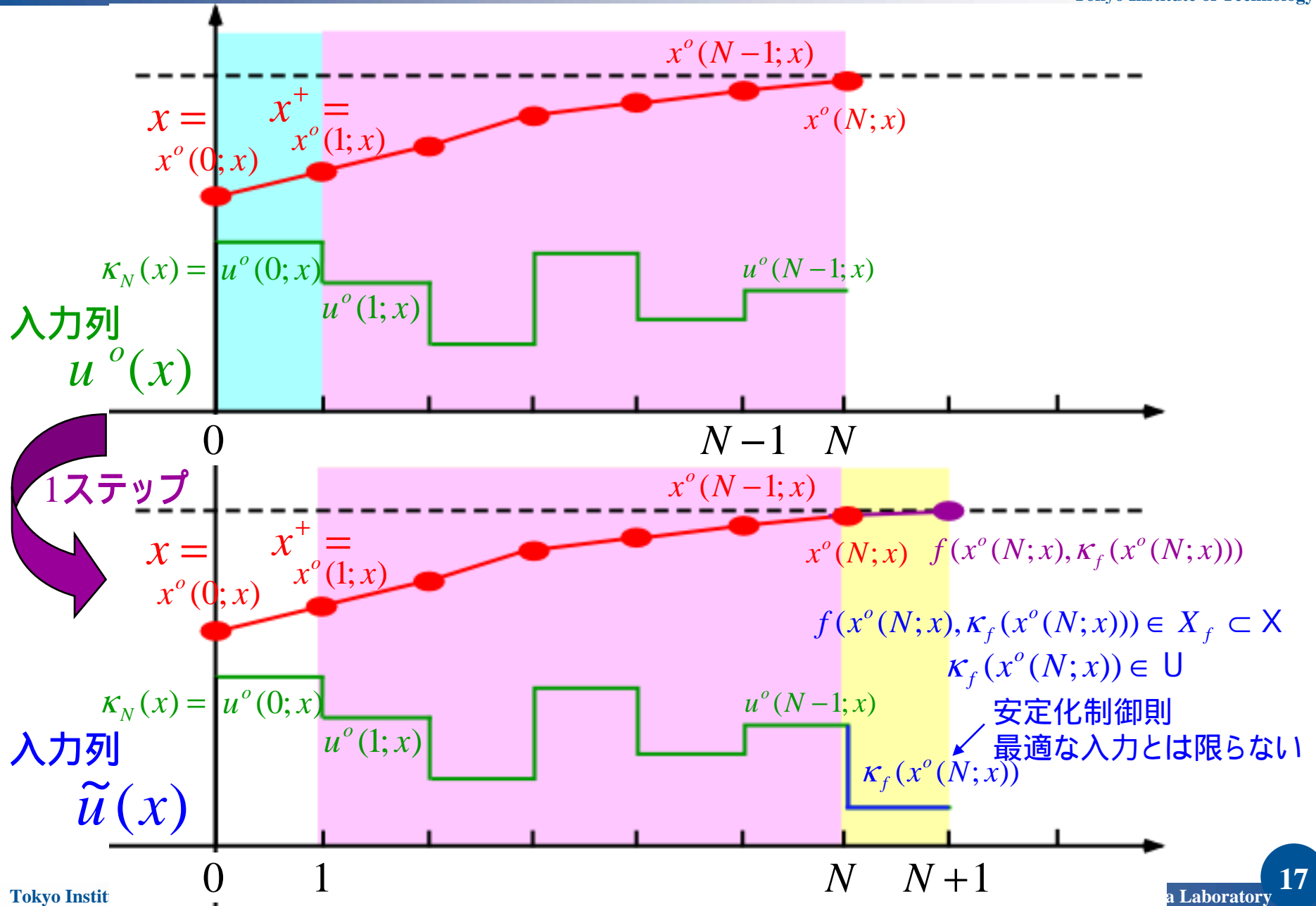
非線形モデル予測制御の安定条件の略証

Tokyo Institute of Technology



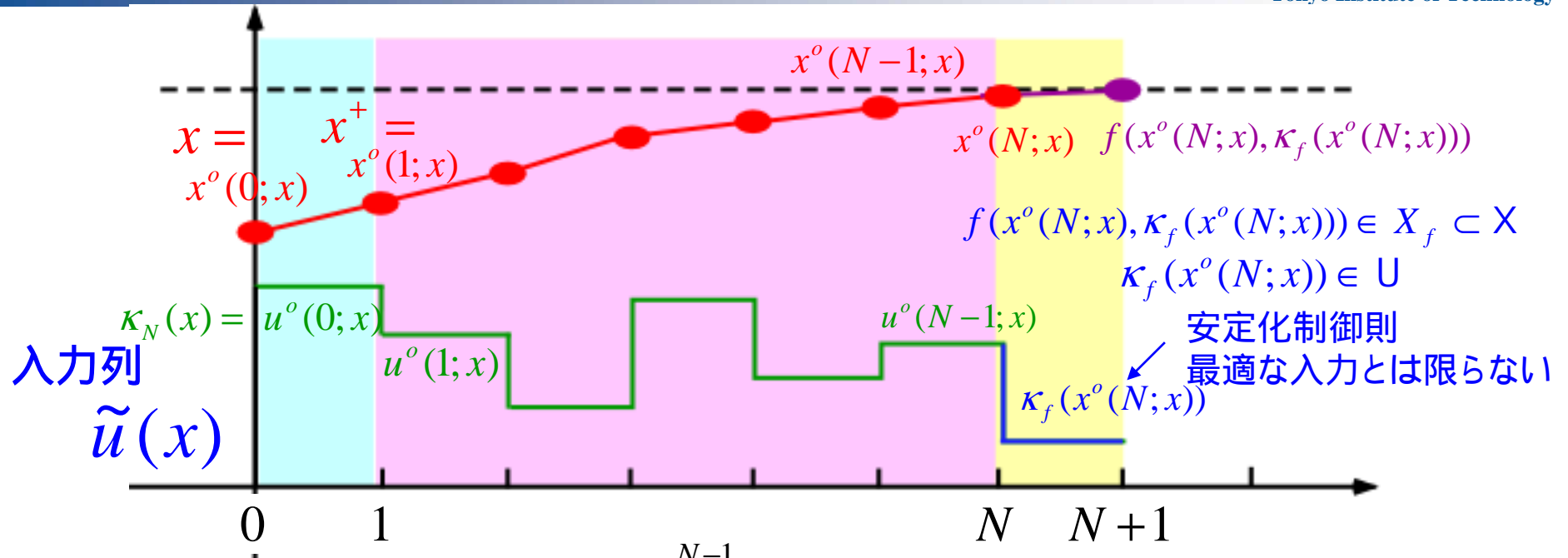


非線形モデル予測制御の安定条件の略証





非線形モデル予測制御の安定条件の略証



コスト (評価関数) $V_N(x, u) = \sum_{i=0}^{N-1} l(x(i), u(i)) + F(x(N))$

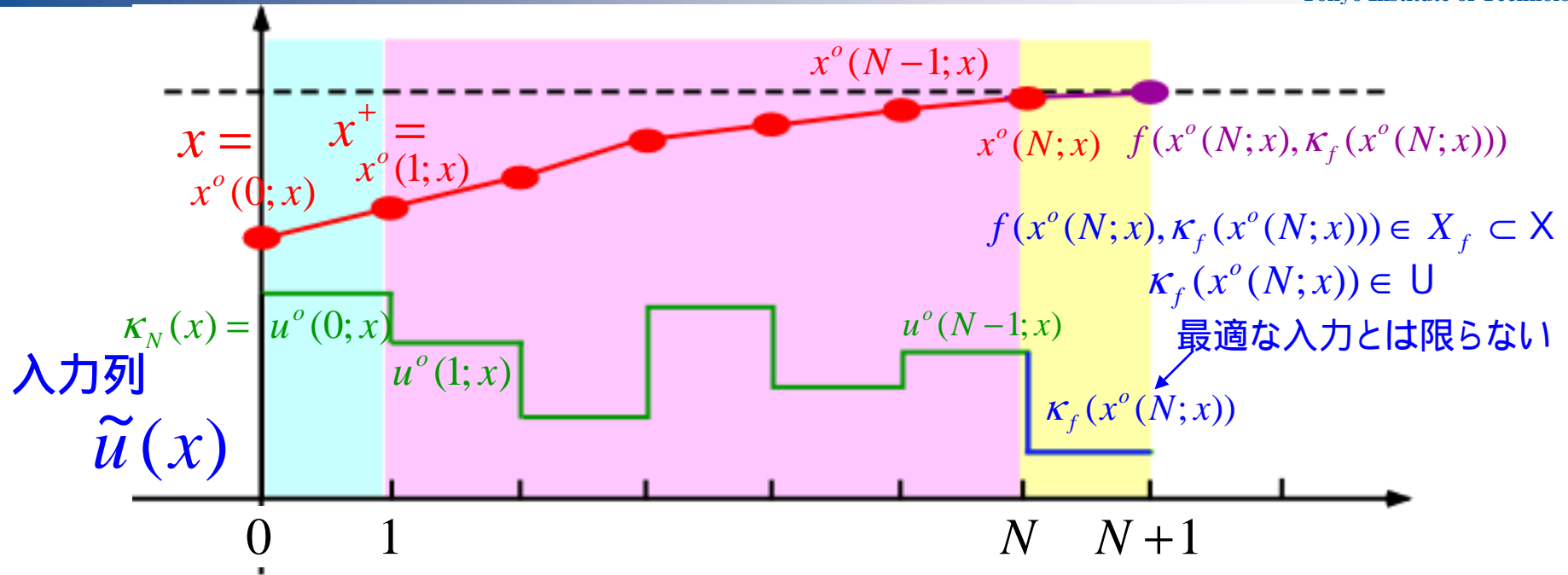
$$\begin{aligned}
 V_N(x^+, \tilde{u}(x)) &= \sum_{i=0}^{N-1} l(x^o(i; x), u^o(i; x)) + F(x^o(N; x)) \\
 &= \underbrace{\sum_{i=1}^{N-1} l(x^o(i; x), u^o(i; x))}_{\text{pink}} + \underbrace{l(x^o(N; x), \kappa_f(x^o(N; x))) + F(x^o(N; x))}_{\text{yellow}} \\
 &= \underbrace{\sum_{i=0}^{N-1} l(x^o(i; x), u^o(i; x))}_{\text{pink}} + \underbrace{F(x^o(N; x))}_{\text{cyan}} \\
 &\quad - \underbrace{l(x^o(0; x), u^o(0; x))}_{\text{cyan}} - \underbrace{F(x^o(N; x))}_{\text{green}} \\
 &\quad + \underbrace{l(x^o(N; x), \kappa_f(x^o(N; x))) + F(f(x^o(N; x), \kappa_f(x^o(N; x))))}_{\text{yellow}}
 \end{aligned}$$

$= V_N(x(0; x), u^o(0; x))$



非線形モデル予測制御の安定条件の略証

Tokyo Institute of Technology

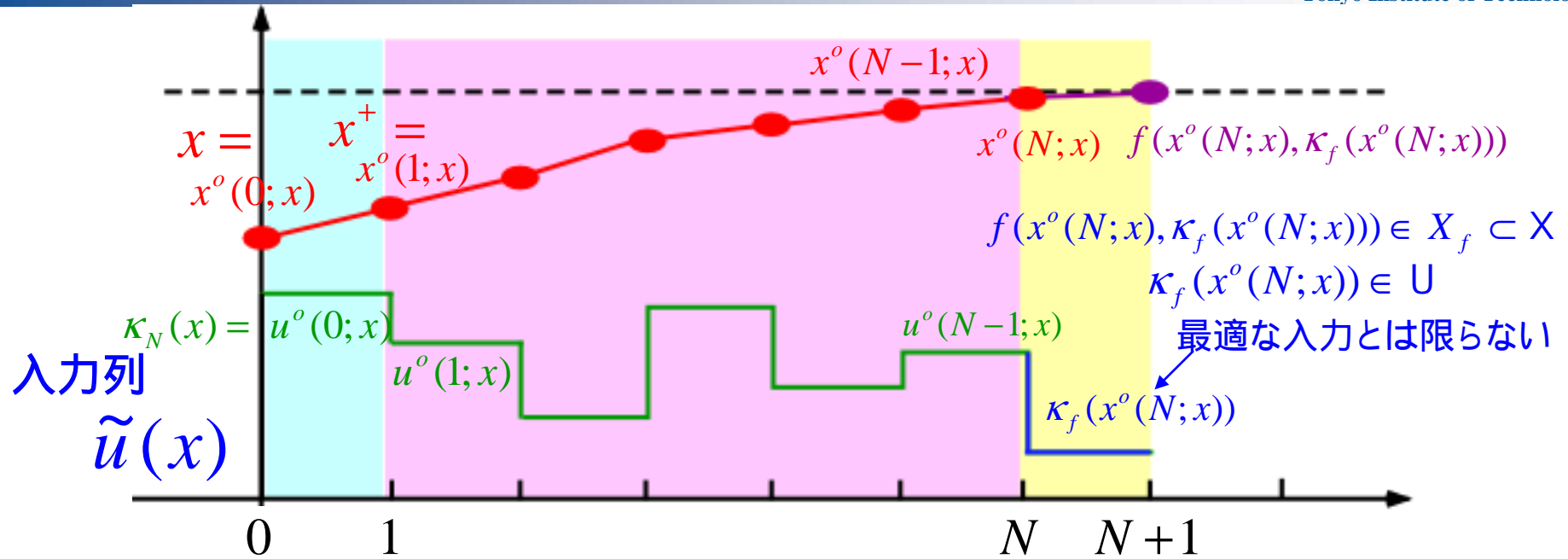


$$\begin{aligned}
 V_N(x^+, \tilde{u}(x)) &= \underbrace{V_N(x(0; x), u^o(0; x))}_{= V_N^o(x)} - \underbrace{l(x^o(0; x), u^o(0; x))}_{= x} - \underbrace{F(x^o(N; x))}_{= \kappa_N(x)} \\
 &\quad + \underbrace{l(x^o(N; x), \kappa_f(x^o(N; x))) + F(f(x^o(N; x), \kappa_f(x^o(N; x))))}_{\text{terminal cost}} \\
 &= V_N^o(x) - l(x, \kappa_N(x)) + \underbrace{\Delta F(x^o(N; x), \kappa_f(x^o(N; x)))}_{\text{change in cost}} \\
 &\quad + l(x^o(N; x), \kappa_f(x^o(N; x))) \\
 &\quad \because \Delta F(x, u) := F(x^+) - F(x)
 \end{aligned}$$



非線形モデル予測制御の安定条件の略証

Tokyo Institute of Technology

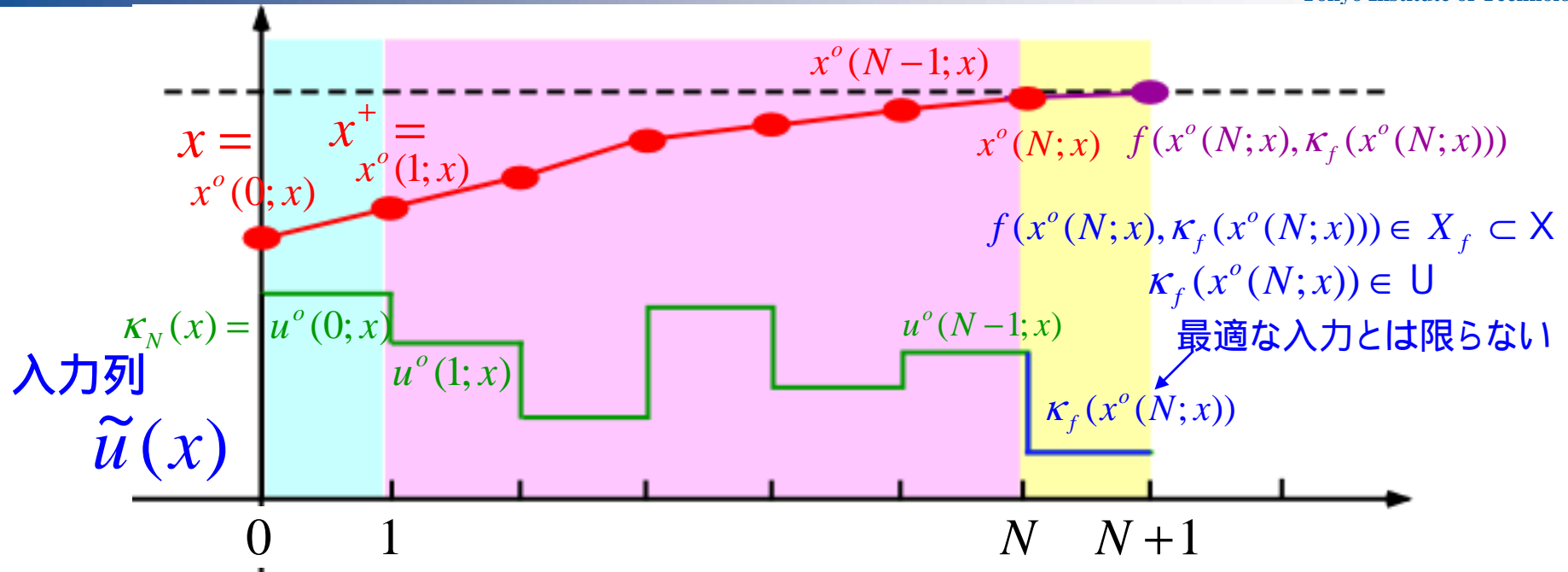


$$\begin{aligned}
 V_N(x^+, \tilde{u}(x)) &= V_N^o(x) - l(x, \kappa_N(x)) + \underline{\Delta F(x^o(N; x), \kappa_f(x^o(N; x)))} \\
 &\quad + \underline{l(x^o(N; x), \kappa_f(x^o(N; x)))} \\
 &= V_N^o(x) - l(x, \kappa_N(x)) + \underline{[\Delta F + l](x^o(N; x), \kappa_f(x^o(N; x)))} \\
 &\leq V_N^o(x) - l(x, \kappa_N(x)) \leq 0
 \end{aligned}$$

∴ モデル予測制御の安定条件 A4 : $[\Delta F + l](x, \kappa_f(x)) \leq 0, \forall x \in X_f$



非線形モデル予測制御の安定条件の略証



$$\therefore \underline{V_N(x^+, \tilde{u}(x)) \leq V_N^o(x) - l(x, \kappa_N(x))}$$

一方 $\tilde{u}(x) := \{u^o(1; x), \dots, u^o(N-1; x), \kappa_f(x^o(N; x))\}$

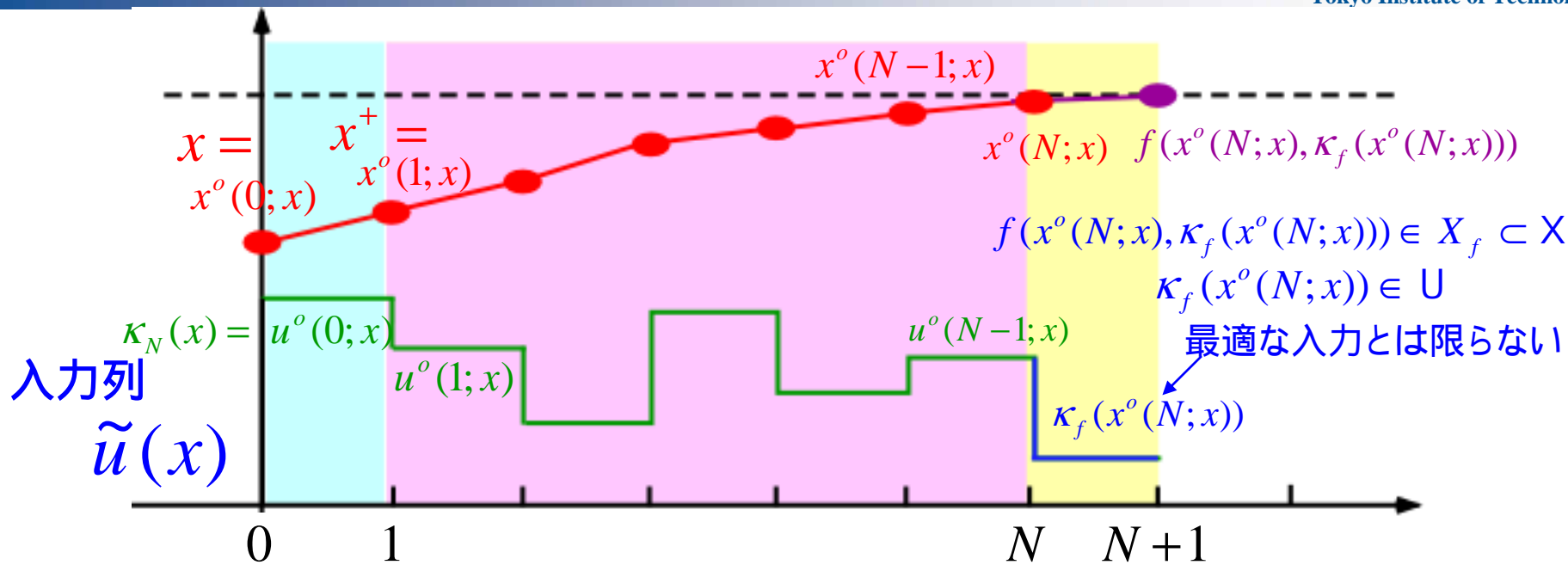
最適入力とは限らない

$$\therefore \underline{V_N^o(x^+) \leq V_N(x^+, \tilde{u}(x))}$$

$$\therefore \underline{V_N^o(x^+) \leq V_N(x^+, \tilde{u}(x)) \leq V_N^o(x) - l(x, \kappa_N(x))}$$



非線形モデル予測制御の安定条件の略証



$$\therefore V_N^o(x^+) \leq V_N^o(x) - l(x, \kappa_N(x))$$

$$\Delta V_N^o(x, \kappa_N(x)) \leq -l(x, \kappa_N(x)) \quad \because \Delta V_N^o(x, u) := V_N^o(x^+) - V_N^o(x)$$

value function $V_N^o(\cdot) > 0$

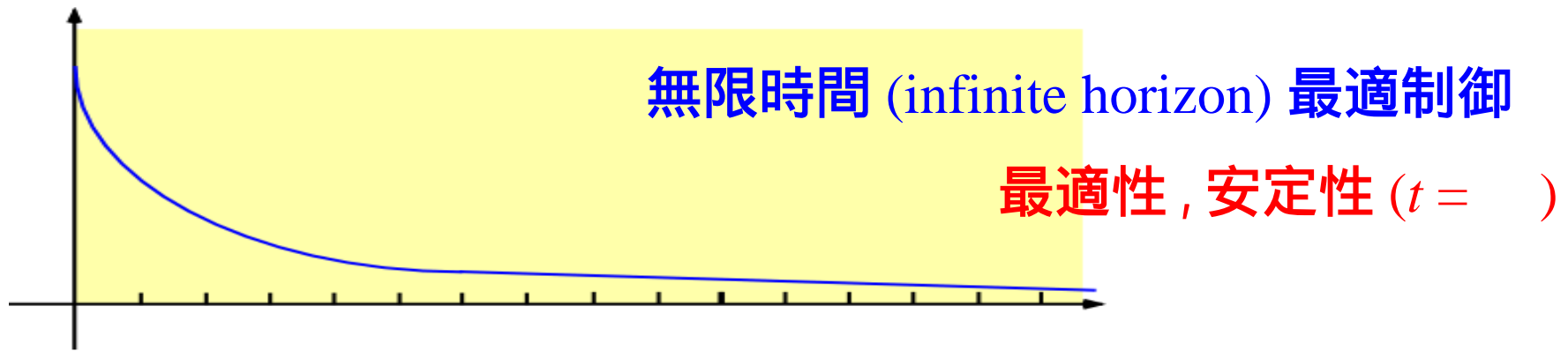
value function $V_N^o(\cdot)$ をリアプノフ関数候補として用い、
 時間の経過とともに $V_N^o(\cdot)$ の値が単調減少し原点 $x=0$ へ



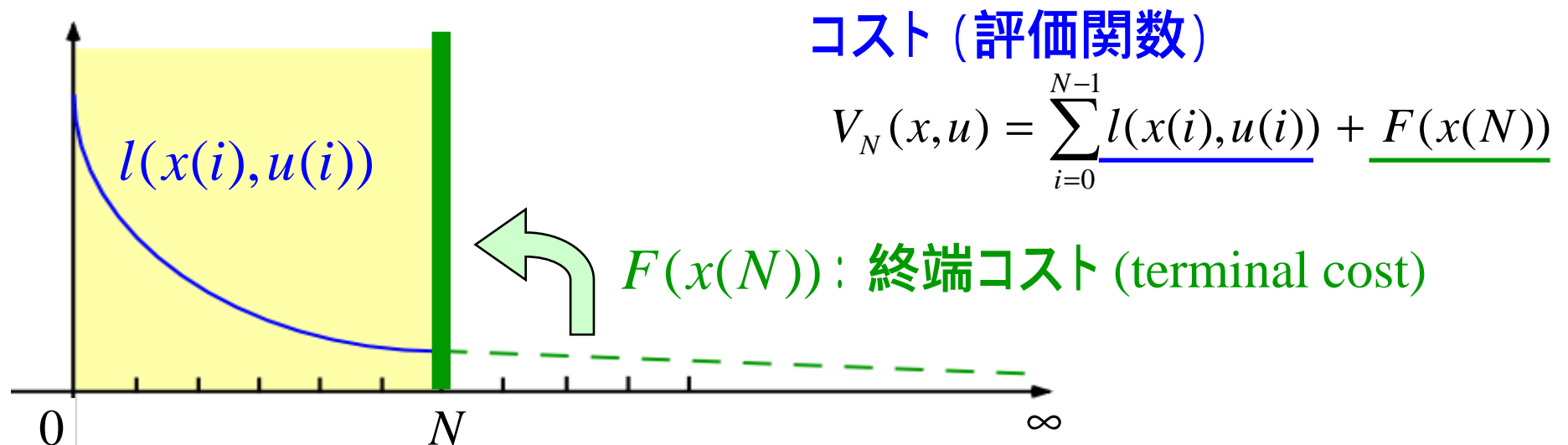
閉ループ系の漸近安定性



終端コストの意味づけ



モデル予測制御 (receding horizon control)



$F(x(N))$: $N \sim$

までのコストを込める

無限時間最適制御
の安定性



終端コストの意味づけ

例：線形の場合

システム $x(k+1) = Ax(k) + Bu(k)$

$y(k) = Cx(k)$

どのように決めるのか?

評価関数

$$V_N(x, u) = \sum_{i=0}^{N-1} \{x^T(i)Qx(i) + u^T(i)Ru(i)\} + x^T(N)P_f x(N)$$

モデル予測制御の安定条件 A4:

$[\Delta F + l](x, \kappa_f(x)) \leq 0, \forall x \in X_f$ より求められる条件である

Nステップ以降
操作量は0

$\kappa_f(x) = 0$ としてA4を満たす終端コストを考える

リアプノフ方程式 $A_f^T P_f A_f + Q_f = P_f$ を満たす

$A_f := A + BK_f$
 $Q_f := Q + K_f^T RK_f$

$P_f = \sum_{k=0}^{\infty} (A_f^k)^T Q_f A_f^k$ を用いると

$\kappa_f(x) := K_f x$

* 実際にはリアプノフ方程式を直接計算する



終端コストの意味づけ

評価関数

$$\begin{aligned}
V_N(x, u) &= \sum_{i=0}^{N-1} \{x^T(i)Qx(i) + u^T(i)Ru(i)\} + \underline{x^T(N)P_f x(N)} \\
&= \sum_{i=0}^{N-1} \{x^T(i)Qx(i) + u^T(i)Ru(i)\} + \sum_{i=N}^{\infty} \{x^T(i)Qx(i) + u^T(i)Ru(i)\} \quad P_f = \sum_{k=0}^{\infty} (A_f^k)^T Q_f A_f^k \\
&= \sum_{i=0}^{\infty} \{x^T(i)Qx(i) + u^T(i)Ru(i)\}
\end{aligned}$$

つまり

0 ~ までの評価関数

終端コスト $F(x(N))$ に $N \sim$ までのコストに込めること



無限時間 (infinite horizon) 最適制御の安定性

A. Jadbabaie, J. Yu and J. Hauser, "Unconstrained Receding-Horizon Control of Nonlinear Systems," *IEEE Trans. Automatic Control*, Vol.46, No.5, pp.776-783, 2001.

終端コストに control Lyapunov function を用いる



無限時間最適制御と有限時間最適制御

離散時間線形システム $x(k+1) = Ax(k) + Bu(k)$

無限時間最適制御の評価関数

$$V_{\infty}(x, u) = \sum_{i=0}^{\infty} (x^T(i)Qx(i) + u^T(i)Ru(i))$$

$$= \underbrace{\sum_{i=0}^{N-1} (x^T(i)Qx(i) + u^T(i)Ru(i))}_{\text{最適入力 } u^o(k) = Kx(k)}$$

$$+ \underbrace{\sum_{i=N}^{\infty} (x^T(i)Qx(i) + u^T(i)Ru(i))}_{K = -(R + B^T PB)^{-1} B^T PA}$$

最適入力 $u^o(k) = Kx(k)$

$$K = -(R + B^T PB)^{-1} B^T PA$$

$N \sim \infty$ の最適なコスト

モデル予測制御の評価関数

$$V_N(x, u) = \sum_{i=0}^{N-1} (x^T(i)Qx(i) + u^T(i)Ru(i)) + \underbrace{x(N)^T P_f x(N)}_{\text{終端に込める!}}$$

$x(N) \in X_f$ (終端制約)

制約条件

$$u(k) \in U \quad k=0, \dots, N-1$$

$$x(k) \in X \quad k=0, \dots, N$$

$$x(N) \in X_f \subset X$$

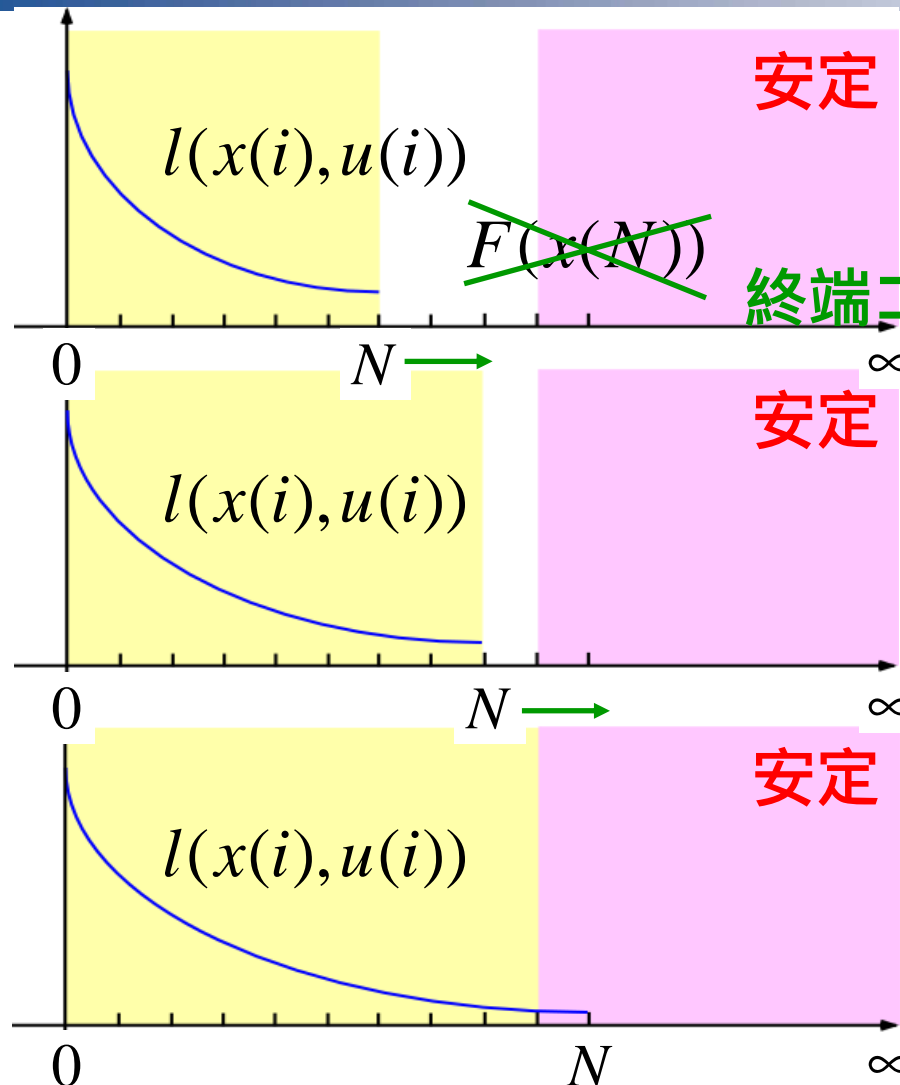
X_f における安定化入力

$$K_f(x) = Kx(k)$$

$$K = -(R + B^T P_f B)^{-1} B^T P_f A$$



その他の安定性の証明方法



安定 コスト (評価関数)

$$V_N(x, u) = \sum_{i=0}^{N-1} l(x(i), u(i)) + F(x(N))$$

安定 終端コストは用いない

安定

安定

安定性を満足するまで
Horizon の長さをのばしていく。

G. Grimm, M. J. Messina, S. E. Tuna and A. R. Teel, "Model Predictive Control: For Want of a Local Control Lyapunov Function, All is Not Lost," *IEEE Trans. Automatic Control*, Vol.50, No.5, pp.546-558, 2005.

A. Jadbabaie and J. Hauser, "On the Stability of Receding Horizon Control With a General Terminal Cost," *IEEE Trans. Automatic Control*, Vol.50, No.5, pp.674-678, 2005.



非線形モデル予測制御の応用例

- ・ Hover Craft (大阪大学)
- ・ Visual Feedback System (東工大)

モデル予測制御
プロセス制御の分野ではない
“速い” 制御対象への適用へ!!



Fig : Hover Craft

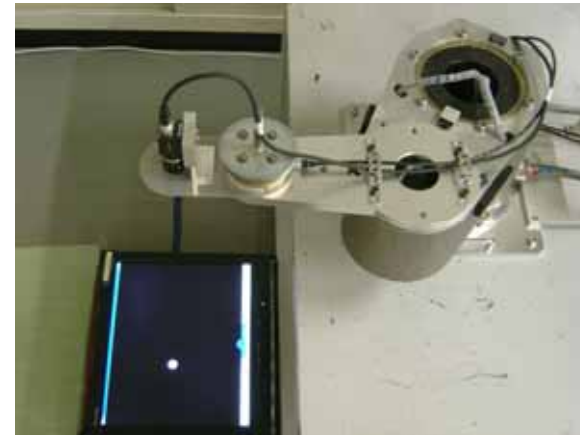


Fig : Visual Feedback System



モデル予測制御の応用例 (Hover Craft)

Tokyo Institute of Technology

Hover Craft

制御目標

推進力、移動できる範囲に制約がある条件下で Hover Craftの位置、姿勢を目標値に収束させる。



システム

$$\frac{dx}{dt} = \begin{bmatrix} -\sin x_3 & -\sin x_3 \\ \cos x_3 & \cos x_3 \\ 1/L & -1/L \end{bmatrix} u$$

状態 $x = [x_1, x_2, x_3]^T$

入力 $u = [u_1, u_2]^T$

Fig : Hover Craft

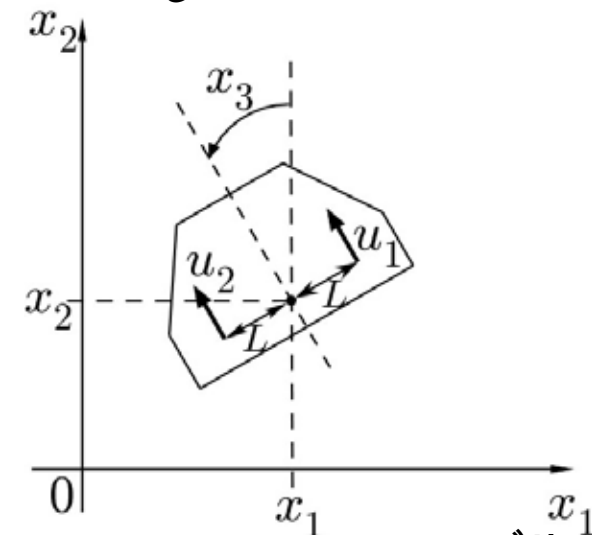


Fig : Hover Craft モデル

T. Ohothuka and A. Kodama, "Automation Code Generation System for Nonlinear Receding Horizon Control,"

計測自動制御学会論文集, Vol.38, No.7, pp.617-623 2002.

Tokyo Institute of Technology

http://www-newton.mech.eng.osaka-u.ac.jp/~ohtsuka/paper/CCA02ohp_hover.pdf



モデル予測制御の応用例 (Hover Craft)

Tokyo Institute of Technology

入力と状態に関する制約

入力に関する制約 U : ファンの推進力 $-u_{\max} \sim u_{\max}$

状態に関する制約 X : 移動できる範囲 $-x_{\max} \sim x_{\max}$

コスト (評価関数)

$$J = \underbrace{\varphi(x(T))}_{\text{終端コスト}} + \int_t^{t+T} \underbrace{L(x(t'), u(t'))}_{\text{ステージコスト}} dt'$$

$$\underline{L} = \frac{1}{2} \{ (p(t) - x(t))^T Q (p(t) - x(t)) + u^T u \} : \text{ステージコスト (stage cost)}$$

$$\underline{\varphi} = \frac{1}{2} (p(t) - x(t))^T S_f (p(t) - x(t)) : \text{終端コスト (terminal cost)}$$

$$Q > 0, \quad S_f > 0$$

$$p(t) = \begin{bmatrix} 0 & 0 & \frac{\pi}{2} \end{bmatrix} : \text{目標値}$$

$$T(t) = T_f (1 - e^{-\alpha t}) : \text{評価区間}$$

計算アルゴリズム
C/GMRES



モデル予測制御の応用例 (Hover Craft)

Tokyo Institute of Technology



<http://www-newton.mech.eng.osaka-u.ac.jp/~ohtsuka/research.htm>



モデル予測制御の応用例 (Visual Feedback Control)

Tokyo Institute of Technology

Visual Feedback Control

制御目標

視覚情報を用いて, マニピュレータの手先を観測対象の真上に一致させる.

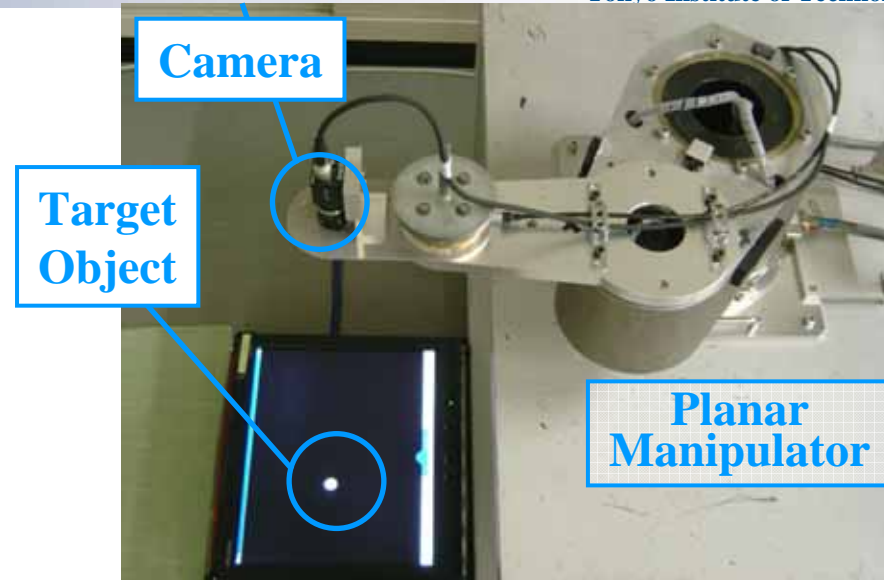


Fig : Visual Feedback System

システム

$$\begin{cases} \dot{\xi} = -M^{-1}(q)C(q, \dot{q})\xi + M^{-1}(q)u \\ \dot{f} = -\frac{s\lambda}{z_{wo}} R_{wc}^T J_b \xi - \left(\frac{s\lambda}{z_{wo}} R_{wc}^T J_b \alpha J_b^T R_{wc} + R_{wc}^T \dot{R}_{wc} \right) f \end{cases}$$

$Q > 0 \quad R^{-1} > 0$

コスト (評価関数)

$V(x) : \text{エネルギー関数}$

$J_{RHC}(u, t) = \int_t^{t+T} \underline{l(x(\tau), u(\tau))} d\tau + \underline{M(x(t+T))}$

$\underline{l(x(\tau), u(\tau))} = 4x^T Qx + u^T R^{-1}u : \text{ステージコスト (stage cost)}$

$\underline{M(x(t+T))} = 4V(x(t+T)) : \text{終端コスト (terminal cost)}$



モデル予測制御の応用例 (Visual Feedback Control)

Tokyo Institute of Technology





最新のモデル予測制御の研究

- ・ 非線形モデル予測制御 (nonlinear model predictive control)
- ・ ロバストモデル予測制御 (robust model predictive control)
- ・ ‘速い’ システム (fast systems) のモデル予測制御
- ・ ハイブリッドシステム (hybrid systems) のモデル予測制御

- ・ Trajectory Generation
- ・ Path Planning